

# بررسی آزمایشگاهی جریان غیرخطی غیرماندگار در محیط متخلخل سنگریزهای

جالال صادقیان<sup>۱</sup>

حیب‌الله بیات<sup>۲</sup>

محمد رضا صبور<sup>۳</sup>

مرتضی شکری<sup>۱</sup>

(دریافت ۸۹/۷/۳۰ آخرین اصلاحات دریافتی ۹۰/۷/۲۰ پذیرش ۹۰/۷/۲۴)

## چکیده

در این تحقیق بررسی آزمایشگاهی جریان آب درون محیط متخلخل درشت دانه در یک کانال مرتفع سطح آزاد، به منظور درک بهتر مکانیسم افت انرژی در طول فلوم و تغییرات افت با سرعت جریان آب انجام شد. جریان درون محیط متخلخل درشت دانه در شرایط ماندگار و غیرماندگار در شرایط آزمایشگاهی مورد ارزیابی قرار گرفت. به منظور تنویر رفتار جریان‌های غیرخطی در سازه‌های سنگریزهای در شرایط غیرماندگار، آزمایش‌هایی گسترشده در یک فلوم روباز آزمایشگاهی انجام شد. مصالح سنگریزی شکسته با دانه‌بندی از پیش تعیین شده‌ای در فلوم مذکور با پهنای ۶۰ سانتی‌متر متراکم شد و تغییرات سطح استabilی در مصالح دانه‌ای، تحت تأثیر تغییرات تراز پایاب که معرف شرایط غیرماندگار بود، توسط پیزومترهای نصب شده در طول فلوم به روشهای نوری ثبت گردید. سپس مشاهدات آزمایشگاهی با نرم‌افزار SPSS تحلیل گردید و مشاهده شد که: (الف) از معادله درجه دوم و دو جمله‌ای مشهور به فورشهایم با موقوفیت می‌توان برای تحلیل هر دو نوع جریان‌های غیرخطی - ماندگار و غیرخطی - غیرماندگار در مصالح درشت دانه استفاده نمود، مشروط بر آنکه سطح استabilی (جریان سطح آزاد) تشکیل گردد، (ب) اگرچه می‌توان یک جمله سوم برای تبیین اثرات شرایط غیرماندگاری به معادله مذکور اضافه نمود، اما تأثیر آن به علت بسیار کوچک بودن ضریب جمله سوم کم اهمیت است، (ج) با ترسیم منحنی تغییرات گرادیان هیدرولیکی (i) در مقابل عدد رینولدز برای کلیه مشاهدات آزمایشگاهی، وجود شرایط غیرخطی تأیید گردید، (د) از مقایسه یافته‌ها با آنچه که توسط دیگر پژوهشگران گزارش شده است استنباط می‌شود که مجموعه آزمایشگاهی که به طور اختصاصی برای این پژوهش طراحی و ساخته شد، کاملاً شرایط حاکم بر پرتوتیپ را شبیه‌سازی می‌نماید.

**واژه‌های کلیدی:** مصالح درشت دانه، معادله فورشهایم، جریان غیردائمی، جریان غیرخطی، مصالح شکسته

## Experimental Investigation on Nonlinear Analysis of Unsteady Flow Through Coarse Porous Media

Morteza Shokri<sup>1</sup>

Mohammad Reza Saboor<sup>2</sup>

Habibolah Bayat<sup>3</sup>

Jalal Sadeghian<sup>4</sup>

(Received Oct. 22, 2010

Revised Oct. 12, 2011

Accepted Oct. 16, 2011)

### Abstract

An experimental investigation of water flowing through coarse porous media in an open channel with free surface was conducted to better understand the mechanism of energy loss and changes with flow velocity. In this research, experimentally, investigate water flowing through coarse porous media in nonlinear unsteady state. To cast light on the analytical characteristics of unsteady-turbulent flow within coastal rockfill structures, an extensive research program has been carried out using the open channel flow principles. Crushed coarse aggregates with pre-determined gradations were carefully packed in a 600 mm wide flume through which, variation of pheartic surface as a result of the tail-water variation – to resume unsteady flow conditions – were optically recorded by means of a set of piezometers installed along the flume's side-wall. Discharge rates were measured by a calibrated v-notch and the tail-water surface variations were precisely timed by means of delicate electrical equipments specially designed and manufactured for these experiments. Observations on the flow

1. Ph.D. Student of Civil Eng., Khajeh Nasireddin Toosi University of Tech., Tehran (Corresponding Author) (+98 811) 8278783 mshokri@dena.kntu.ac.ir

۱- دانشجوی دکترای تخصصی مهندسی عمران آب، دانشگاه صنعتی خواجه نصیرالدین طوسی، تهران (نويستنده مسنول) (۰۸۱۱) ۸۲۷۸۷۸۳

2. Assist. Prof., Dept. of Civil and Environmental Eng., Khajeh Nasireddin Toosi University of Tech., Tehran

۲- استادیار، دانشکده مهندسی عمران و محیط زیست، دانشگاه صنعتی خواجه نصیرالدین طوسی، تهران

3. Assoc. Prof., Dept. of Civil Eng., Amir Kabir University of Tech., Tehran

۳- دانشیار، دانشکده مهندسی عمران، دانشگاه صنعتی امیرکبیر، تهران

4. Faculty Member of Civil Eng., Bu-Ali Sina University, Hamedan

۴- عضو هیئت علمی گروه مهندسی عمران، دانشگاه بوعلی سینا، همدان

media. b) Although a third term defining effects of unsteadiness may be included in the above mentioned equation, it is of little engineering importance. c) The nature of hydraulic gradient (i) variations versus Reynolds number ( $Re$ ) – which were plotted for all sets of observations – confirms existence of turbulent conditions in all experiments. d) Our unique experimentation set-up adequately resembles the actual prototype conditions.

**Keywords:** Coarse Granular Porous Media, Forchheimer Equation, Nonlinear Flow, Unsteady Flow, Crushed Aggregates.

این نکته بسیار کلیدی، زمینه را برای تدوین یک معادله دیفرانسیل جزئی که جایگزین معادله لاپلاس است، فراهم می‌آورد. در این راستا می‌توان از محققانی همچون دوژن<sup>۳</sup> در سال ۱۹۶۶ و یلکینز<sup>۴</sup> در سال ۱۹۵۵، پارکین<sup>۵</sup> در سال ۱۹۶۶، جانسون<sup>۶</sup> در سال ۱۹۷۱، لپس<sup>۷</sup> در سال ۱۹۷۲، سونی<sup>۸</sup> در سال ۱۹۷۸، ولکر<sup>۹</sup> در سال ۱۹۶۹، فورار و همکاران<sup>۱۰</sup> در سال ۲۰۰۴، کنستادینوس و همکاران<sup>۱۱</sup> در سال ۲۰۰۹ و چنگ و همکاران<sup>۱۲</sup> در سال ۲۰۰۸ نام برد که هر یک با برداشتی سلیقه‌ای، به ارائه مدلی برای تحلیلهای غیرخطی ولی ماندگار، در محیط‌های متخلخل دانه درشت پرداخته‌اند [۱۱-۱۵].

همان طور که بیان شد مکانیسم فیزیکی حاکم بر پدیده جریان ایستایی در گذشته مورد بررسی محققان مختلفی قرار گرفته است، اما مطالعات کمتری اثرات جریان شتابدار را مورد آزمایش قرار داده‌اند. در این راستا اندک مطالعاتی نیز در رابطه با وجود عبارت سوم در معادله ساختاری فورشهایمر (ناشی از شتابهای موضعی و یا اینرسی موضعی) در کارهای محققانی همچون پولوبارینو<sup>۱۳</sup> در سال ۱۹۵۲، تک<sup>۱۴</sup> در سال ۱۹۵۷، گرسما<sup>۱۵</sup> در سال ۱۹۴۷، هال و همکاران<sup>۱۶</sup> در ۱۹۹۴، برقات و همکاران<sup>۱۷</sup> در سال ۱۹۵۵ و حسینی‌زاده به چشم می‌خورد [۱۶-۱۸]. جریان غیر ایستا درون محیط متخلخل را به طور نمونه می‌توان در مسائلی همچون جریان امواج درون محیط سنگریزه‌ای، جریان در بستر رودخانه‌های کم عمق، جریان درون سازدهای قلوه سنگی، جریان درون موج شکن‌ها و گاییون‌ها و غیره مشاهده نمود.

کاوش‌های همه جانبه نویسنده‌گان این تحقیق برای دسترسی به یافته‌های مشابهی برای جریان‌های غیرماندگار و غیرخطی که زمینه اصلی پژوهش حاضر بود، به گزارش کاری آزمایشگاهی هال و

## ۱- مقدمه

فیزیک جریان در مصالح دانه‌ای، نقش مهمی را در ارزیابی اثرات مقیاس در مدل‌ها و فرمولاسیون مدل‌های عددی در اندرکنش سازه‌های موج شکن ایفا می‌کند [۱ و ۲]. از آنجاکه جریان سیالات در محیط‌های متخلخل درشت دانه در کاربری‌های متداول به صورت غیر دارسی است، لذا برای تحلیلهای مهندسی نمی‌توان از روابط خطی مثلاً معادله لاپلاسی ( $\varphi_{yy} + \varphi_{xx} = 0$ ). استفاده نمود [۶-۳]. به عبارت دیگر در این مصالح بین سرعت جریان ( $V$ ) و گرادیان هیدرولیکی ( $i$ )، ارتباط خطی بروفار نبوده و رابطه حاکم به صورت نمائی یا درجه دوم خواهد بود [۷]. از دیرباز پژوهشگران برای برآورد گرادیان هیدرولیکی ( $i$ ) بر حسب سرعت متوسط جریان ( $V$ ) در مصالح درشت دانه، روابط گوناگونی را پیشنهاد کرده‌اند که تمامی روابط ارائه شده را می‌توان به دو صورت کلی زیر، طبقه‌بندی نمود [۷]

$$(1) \text{ رابطه دوجمله‌ای } i = aV + b|V|V$$

که به معادله فورشهایمر<sup>۱</sup> معروف است و در آن  $a$  و  $b$  ضرایبی هستند که تابعی از ویژگی‌های جریان و محیط متخلخل هستند و عموماً با روش‌های آزمایشگاهی تعیین می‌شوند [۸].

$$(2) \text{ رابطه نمایی } i = mV^n$$

که در این رابطه  $m$  و  $n$  مقداری وابسته به خصوصیات محیط متخلخل و سیال هستند [۹]. سهولت استفاده از رابطه ۲ موجب شده است تا این رابطه توسعه پژوهشگران مختلف و به شکل‌های گوناگونی مورد استفاده قرار گیرد [۹-۱۲]. لذا شایان ذکر است که هر یک از محققان مربوطه، تعیین ضرایب  $m$  و  $n$  را منوط به مجموعه‌ای از خصوصیات مصالح، سیال و سرعت ظاهری جریان (یا عدد رینولدز<sup>۱۰</sup>) دانسته‌اند و در نتیجه، سازگاری اندکی بین مقداری ضرایب ارائه شده آنها برای یک مجموعه مفروض از داده‌های مهندسی وجود دارد. از طرفی دیگر علی‌رغم این اختلافات، پذیرشی فراگیر وجود دارد که فارغ از روش به کار گرفته شده در تعیین ضرایب برای یک مصالح مفروض و در محدوده نسبتاً مشخصی از اعداد رینولدز، می‌توان ضرایب  $m$  و  $n$  را با تقریب مناسبی، ثابت در نظر گرفت [۷].

<sup>1</sup> Forchheimer

<sup>2</sup> Reynolds Number ( $Re$ )

<sup>3</sup> Dudgeon

<sup>4</sup> Wilkins

<sup>5</sup> Parkin

<sup>6</sup> Johnson

<sup>7</sup> Leps

<sup>8</sup> Soni

<sup>9</sup> Volker

<sup>10</sup> Fourar et al.

<sup>11</sup> Konstadinos et al.

<sup>12</sup> Cheng et al.

<sup>13</sup> Polubarinova

<sup>14</sup> Tek

<sup>15</sup> Geertsma

<sup>16</sup> Hall et al.

<sup>17</sup> Burcharth et al.

برای حالت ماندگار ( $as$  و  $bs$ ) که از تحلیل همبستگی<sup>۴</sup> به دست آمده‌اند، در جدول ۱ آمده است.

جدول ۱- ضرایب  $a$  و  $b$  حاصل از آزمایش‌ها [۲۰]

پارامتر	سری آزمایش‌ها			
	C۴۲	R۴۲	C۷۵	R۷۵
قطردانه D (میلی‌متر)	۴۲	۴۲	۷۵	۷۵
تخلخل n (درصد)	۰/۵۲	۰/۳۳	۰/۵۱	۰/۲۶
$a_s$ (Sec/m)	۰/۰۸	۰/۴۳	۰/۱۶	۰/۴۱
$b_s$ (Sec/m) <sup>۲</sup>	۸/۷۷	۳۹/۶	۳/۴۳	۱۹/۲

$C_i$  کره‌هایی با قطر  $i$  میلی‌متر با دسته‌بندی مکعبی شکل،  $n_i$  کره‌هایی با قطر  $i$  میلی‌متر با دسته‌بندی لوزی شکل،  $S$  نمونه مصالح طبیعی

ایشان برای دستیابی به برازشها بeterین داده‌های مشاهداتی، با کمک روش آنالیز و تحلیل ابعادی بین گرادیان هیدرولیکی و دیگر ویژگی‌های جریان- محیط متخلخل مؤثر رابطه‌ای ارائه کردند که به صورت زیر بازنویسی می‌شود

$$a = \text{fun}(\rho, \mu, T, n, D, t) \quad (3)$$

که در این رابطه

$\rho$  دانسیته سیال،  $\mu$  گرانروی سیال،  $A$  دامنه نوسانی ذره آب،  $T$  پریود نوسانی ذره آب،  $D$  اندازه بارز مصالح،  $n$  تخلخل محیط،  $t$  زمان و  $a$  خاصیتی از سیستم است.

آنگاه نشان داده‌اند که برای هر مصالح مفروضی، تخلخل و طول موج گرادیان هیدرولیکی مستقل از عدد رینولدز است. همچنین به این نتیجه رسیده‌اند که مقاومت ناشی از گرانروی (لنجت) در محدوده‌ای از سرعت‌های جریان، بدون تأثیر است.

سپس برای ارزیابی دقت یافته‌های پژوهشی، حداکثر گرادیان هیدرولیکی اندازه‌گیری شده و حداکثر گرادیان هیدرولیکی محاسباتی را رسم نموده و نتیجه‌گیری کردند که گرادیان هیدرولیکی به طول موج وابستگی معنی‌داری داشته است. نتیجه اینکه مؤلفه پایدار گرادیان هیدرولیکی ( $i_0$ )، تابعی از عدد رینولدز و تخلخل (n) و حرکت ذره آب به صورت بدون بعد ( $\frac{A}{D}$ ) و ترم بدون بعد اندازه ذره (D\*) بوده و برای شرایط جریان غیر خطی،  $i_0$  مستقل از عدد رینولدز R است.

در این مقاله به منظور ارزیابی حدود اعتبار یافته‌های گزارش شده توسط دیگر محققان که در شرایط تحت فشار آزمایش شده است، برای کاربری‌های مهندسی در سازه‌های سنگریزی در قالب پروژه‌ای، پژوهش گسترده مشاهداتی بر روی محیط متخلخل درشت دانه غیر تحت فشار برنامه‌ریزی شد [۲۱].

همکاران راه پیدا کرد که در ادامه آورده شده است [۱۹]. در تحقیق مذکور تلاش شد تا نتایج حاصل از مشاهدات مقیاس‌دار به عمل آمده در یک فلوم تحت فشار نوسانی پر شده از سیال آب بر روی محیط‌های متخلخل ارائه شود که در واقع نوعی تلاش برای بازسازی جریان‌های غیرماندگار در موج شکن‌های سنگریزی دانه‌ای در سواحل دریاها بود. مقایسه نتایج آزمایش‌ها با معادله فورشها یمیر در شرایط مذکور نشان داد که در صورت افزودن جمله سومی به معادله فورشها یمیر به منظور نشان دادن تأثیر غیردانئی بودن جریان، میزان دقت معادله یاد شده را می‌توان در تحلیلهای غیرخطی بالا برد. شایان ذکر است که یافته‌های گزارش شده محدود به نشان دادن چگونگی تأثیرگذاری پارامترهایی چون دامنه و پریود نوسان‌های موج، اندازه دانه و تخلخل برروی مقاومت محیط متخلخل در برابر جریان بوده است. اهمیت کار پژوهشی یاد شده ایجاب می‌کند که برخی فرازهای پر اهمیت‌تر از آن، در این مقاله به اختصار بازیافت گردد.

محیط دانه‌ای مورد استفاده در مشاهدات قبلی، متشکل از انواع مصالح طبیعی متراکم شده همچون سنگریز، شن و ماسه بوده که تفاوت بین آنها را با دانه‌بندی و ضریب یکنواختی مشخص کرده‌اند. چون مقاومت مصالح متخلخل یا نفوذپذیری آنها در مقابل جریان، وابسته به پارامترهایی چون شکل، جهت و موقعیت قرارگیری دانه‌ها، زبری سطحی، تخلخل و غیره است، لذا آزمایش‌هایی هم بر روی نوعی دانه‌های کروی یکنواخت (با قطر برابر) متراکم شده نیز انجام داده‌اند. در تمامی تیپ‌های مصالح به کار گرفته شده تأثیر تخلخل بر روی مقاومت در دو حالت پوک و حالت متراکم آزمایش شده است. همچنین به منظور تعیین تأثیر قطر سنگدانه‌های کروی، آنها را در دو اندازه مختلف و با دو حالت ترتیب قرارگیری برای هر یک، مورد آزمایش و بررسی قرار داده‌اند.

نکته‌ای بسیار با اهمیت در تجزیه و تحلیل مشاهدات این کار، فرض اعتبار داشتن ضرایب مربوط به جریان‌های ماندگار در ارزیابی و به دست آوردن اثرات اینرسی در جریان‌های غیرماندگار است. در این راستا از یافته‌های محققانی همچون مک‌کورکووال<sup>۱</sup> و هنورا<sup>۲</sup> استفاده کرده‌اند [۱۹]. به این منظور آزمایش‌ها در یک فلوم تحت فشار در آزمایشگاه مهندسی ساحلی دانشگاه کوین<sup>۳</sup> صورت گرفته است.

این فلوم ابعادی برابر با یک متر ارتفاع در نیم‌متر پهنا داشت. اطلاعات مربوط به ویژگی‌های هر یک از مصالح دانه‌ای مورد استفاده شامل تخلخل (n)، قطرسنگدانه (D) و ضرایب فورشها یمیر

<sup>1</sup> McCorquodale

<sup>2</sup> Hannoura

<sup>3</sup> Queen

<sup>4</sup> Regression Analysis



شکل ۲- نمایشی از جزئیات انتهایی فلوم مورد استفاده



شکل ۳- نمایشی از فلوم و سرریزهای جانبی آن، نگاه به سمت راست

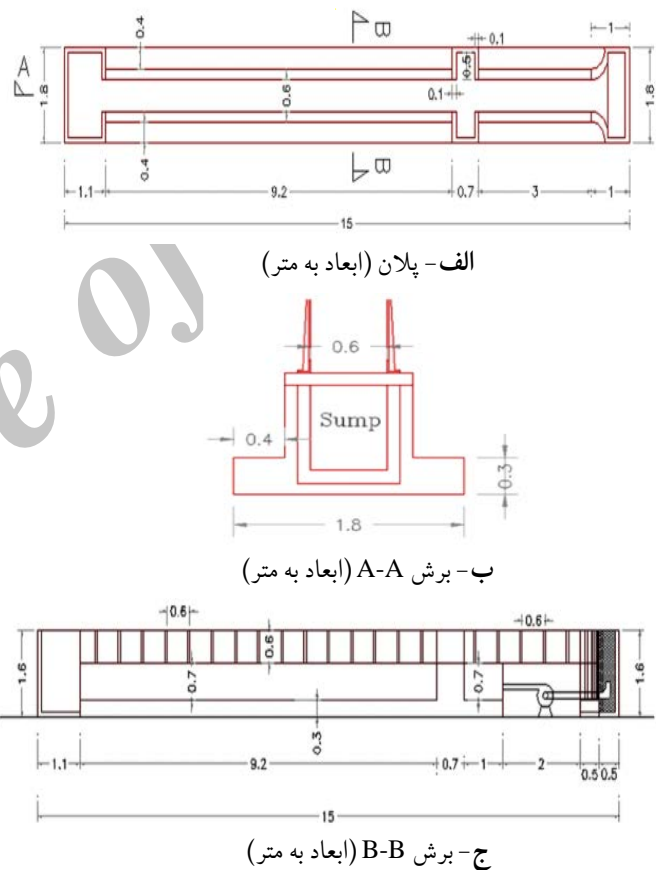


شکل ۴- نمایشی از فلوم در هنگام پر کردن محیط متخلخل نگاه به سمت بالا دست

## ۲- مواد و روشها

### ۱- مجموعه آزمایشگاهی<sup>۱</sup> مورد استفاده

اجزاء اصلی دستگاه مورد استفاده در این پژوهش که شماتیک آن در شکل ۱ نمایش داده شده عبارت بود از: آب انبار<sup>۲</sup> با طولی برابر ۱۳ متر، ارتفاع ۸۵ سانتی متر و عرض ۸۰ سانتی متر که گنجایشی حدود ۱۰ مترمکعب آب داشت. به منظور انجام آزمایش های موردنظر، یک فلوم<sup>۳</sup> بتی غیر شب پذیر به طول ۱۵ متر، ارتفاع ۶/۰ متر و پهنای ۶/۰ متر با دیوارهای شفاف و مجهر به دو سرریز جانبی برای تنظیم دقیق سطح آب در بالا دست محیط متخلخل و یک دریچه انتهایی برای ایجاد نوسانات سیکلیک سطح آب در پایین دست محیط متخلخل و سیستم چرخش آب و ابزار دقیق در نظر گرفته شد. نمایشی از فلوم در شکلهای ۲ تا ۵ آورده شده است.



شکل ۱- فلوم مورد استفاده در پژوهش حاضر (مقادیر به متر)

<sup>1</sup> Experimental Setup

<sup>2</sup> Sump

<sup>3</sup> Flume

$$a = 4/313 \text{ (S/m)} \quad (4)$$

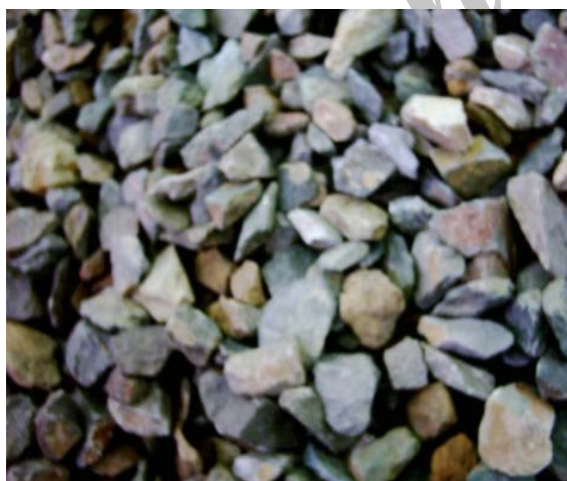
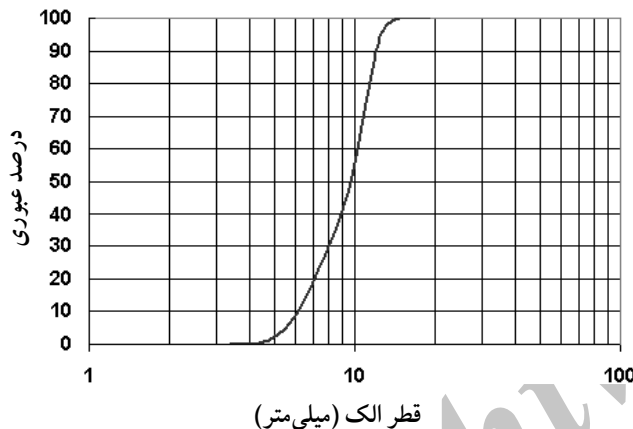
$$b = 224/61 \text{ (S/m)}^2 \quad (5)$$

جایگذاری مقادیر  $a$  و  $b$  در معادله فورشها یعنی، رابطه زیر را نتیجه می‌دهد

$$i = 4/3 + 224/6 V^2 \quad (6)$$

سپس آزمایش‌ها در شرایط غیرماندگار با گامهای زمانی مختلف (۵ دقیقه‌ای و ۲ دقیقه‌ای) در حالتی که دریچه با سرعتی برابر به سمت بالا و سپس به سمت پایین حرکت می‌کرد، پیش برده شد. مقادیر و پارامترهای مورد نیاز در حالتی که دریچه به سمت بالا حرکت می‌کند در جدولهای ۳ و ۴ در حالتی که دریچه به سمت پایین حرکت می‌کند در جدولهای ۵ و ۶ آورده شده است.

منحنی دانه‌بندی نخودی –



شکل ۶- خم دانه‌بندی و مصالح نخودی مورد استفاده در پژوهش حاضر ( $C_c$  برابر ۱/۰۲ و  $C_u$  برابر ۱/۶۲)



شکل ۵- نمایشی از فلوم و پیزومترها در حین آزمایش

## ۲-۲- آماده‌سازی‌ها و مشاهدات

سنگدانه‌ها از معدنی در فاصله ۵۰ کیلومتری همدان و از نوع شکسته از قله‌های کوهی تهیه شد که پس از دانه‌بندی با توزیع از قبل تعیین شده، کاملاً شسته شد تا از ریزدانه‌ها و غبار و خاک عاری شود. اندازه بیشینه سنگدانه‌ها در این دانه‌بندی ۱۲/۷ میلی‌متر (عبوری از الک ۵/۰ اینچ) و اندازه کمینه سنگدانه‌ها ۴/۷۵ میلی‌متر (عبوری از الک نمره ۴) بود. پس از دانه‌بندی مصالح بر حسب برنامه آزمایشی، برخی مشخصات فیزیکی آنها از قبیل وزن مخصوص اشباع با سطح خشک سنگدانه‌ها و تخلخل (n) نمونه‌ها نیز در آزمایشگاه خاک دانشگاه بولوی سینا در همدان تعیین شدند. آنگاه مصالح دانه‌ای در لایه‌های ۱۰ سانتی‌متری در داخل فلوم ریخته شد و توسط تخلخل در شرایط اشباع، متراکم گشت. خم دانه‌بندی مصالح نخودی مورد استفاده در شکل ۶ نشان داده شده است.

## ۳- نتایج و بحث

### ۱-۳- مشاهدات و تجزیه و تحلیلهای آماری

برای تعیین تغییرات گرادیان هیدرولیکی در طول محیط متخلخل مدل شده و در شرایط ماندگار و غیرماندگار، ارتفاعهای پیزومتریک در زمان‌ها و مکان‌های از پیش تعیین شده با روش فیلم‌برداری قرائت شد که خلاصه‌ای از آن در جدولهای ۲ تا ۴ آورده شده است. در ابتدا، آزمایش‌ها در حالت ماندگار درون محیط سنگریزهای انجام گرفت که با برآش منحنی بین داده‌های آزمایشگاهی، در شرایط مذکور رابطه‌ای بین گرادیان هیدرولیکی و سرعت جریان پیدا شد (رابطه ۶). با کمک نرم‌افزار SPSS، مقادیر  $a$  و  $b$  برای داده‌های جدول ۲ به دست آمد

جدول ۲- تعیین تغییرات گرادیان هیدرولیکی در شرایط ماندگار (m/m)

$i$ مشاهداتی	$L$ (سانتی متر)	$\bar{V}$ (سانتی متر بر ثانیه)	$\Delta H$ (سانتی متر)	$V(i)$	$H(i)$	موقعیت
---	---	---	---	1/13	50/25	سراب
0/000	5	1/33	0/00	1/13	50/25	1Piz
0/082	20	1/15	1/65	1/17	48/60	2Piz
0/088	20	1/19	1/75	1/22	46/85	3Piz
0/090	20	1/24	1/80	1/27	45/05	4Piz
0/090	20	1/29	1/80	1/32	43/25	5Piz
0/103	20	1/35	2/05	1/38	41/20	6Piz
0/103	20	1/42	2/05	1/46	39/15	7Piz
0/113	20	1/50	2/25	1/54	36/90	8Piz
0/130	20	1/60	2/60	1/66	34/30	9Piz
0/135	20	1/73	2/70	1/80	31/60	10Piz
0/165	20	1/91	3/30	2/01	28/30	11Piz
0/205	20	2/18	4/10	2/36	24/20	12Piz
0/283	20	2/71	5/65	3/07	18/55	13Piz
0/000	5	3/07	0/00	3/07	18/55	پایاب

(i) ارتفاع پیزومتریک در پیزومتر آم (بر حسب سانتی متر)، (i) سرعت جریان در مقطع آم (بر حسب سانتی متر بر ثانیه)،  $\Delta H$  اختلاف پیزومتریک بین دو پیزومتر متواالی (بر حسب سانتی متر)، L طول افقی بین دو پیزومتر متواالی (بر حسب سانتی متر)،  $\bar{V}$  سرعت متوسط بین دو پیزومتر متواالی (بر حسب سانتی متر بر ثانیه) و همچنین تراز سطح دریچه برابر ۱۰ سانتی متر است

جدول ۳- تراز سطح آب پیزومترها، سراب و پایاب در فواصل زمانی ۵ دقیقه در لحظات بالارفتن دریچه (بر حسب سانتی متر)

لحظه شروع	در دقیقه ۱۰	در دقیقه ۵	در دقیقه ۰	در دقیقه ۱۵
تراز سراب	50/25	50/25	50/25	50/25
پیزومتر شماره ۱	50/25	50/25	50/25	50/25
پیزومتر شماره ۲	48/80	48/80	48/80	48/80
پیزومتر شماره ۳	47/15	47/15	47/00	47/00
پیزومتر شماره ۴	45/05	45/35	45/20	45/20
پیزومتر شماره ۵	43/8	43/50	43/20	43/25
پیزومتر شماره ۶	41/90	41/50	41/35	41/25
پیزومتر شماره ۷	39/95	39/50	39/40	39/25
پیزومتر شماره ۸	38/00	37/50	37/20	37/10
پیزومتر شماره ۹	35/70	35/15	34/60	34/50
پیزومتر شماره ۱۰	32/40	32/70	32/00	31/80
پیزومتر شماره ۱۱	30/85	29/85	29/00	28/50
پیزومتر شماره ۱۲	27/70	26/30	25/15	24/60
پیزومتر شماره ۱۳	22/85	22/10	20/10	19/00
تراز پایاب	22/85	22/10	20/10	19/00
تراز سطح دریچه (سانتی متر)	19/35	16/95	14/85	12/47
ارتفاع H (سانتی متر)	9/39	9/39	9/39	9/39

جدول ۴- تغییرات گرادیان هیدرولیکی(m/m) و تعیین a, b و c در شرایط غیر ماندگار با گامهای زمانی ۵ دقیقه ای (دریچه رو به بالا)

تغییرات تراز دریچه به سمت پایین (لحظه شروع)															
۰/۰۲۸۷	۰/۰۲۱۷	۰/۰۱۹۰	۰/۰۱۷۳	۰/۰۱۶۰	۰/۰۱۵۰	۰/۰۱۴۲	۰/۰۱۳۶	۰/۰۱۳۰	۰/۰۱۲۴	۰/۰۱۲۰	۰/۰۱۱۶	۰/۰۱۱۴	۰/۰۱۱۴	۰/۰۱۱۴	(مت بر ثانیه) i
۰/۲۸۰	۰/۱۹۵	۰/۱۶۵	۰/۱۳۵	۰/۱۳۰	۰/۱۰۸	۰/۱۰۰	۰/۱۰۰	۰/۰۹۸	۰/۰۹۰	۰/۰۹۰	۰/۰۷۳	۰/۰۷۳	۰/۰۷۳	۰/۰۷۳	(مشاهداتی) i
۰/۰۴۸	۰/۰۳۹	۰/۰۳۴	۰/۰۳۱	۰/۰۲۹	۰/۰۲۷	۰/۰۲۵	۰/۰۲۴	۰/۰۲۳	۰/۰۲۲	۰/۰۲۲	۰/۰۲۱	۰/۰۲۱	۰/۰۲۱	۰/۰۲۱	۰/۰۲۱
۲/۶	۲/۶	۲/۶	۲/۶	۲/۶	۲/۶	۲/۶	۲/۶	۲/۶	۲/۶	۲/۶	۲/۶	۲/۶	۲/۶	۲/۶	از نرم افزار SPSS a
۶۴/۱۷	۶۴/۱۷	۶۴/۱۷	۶۴/۱۷	۶۴/۱۷	۶۴/۱۷	۶۴/۱۷	۶۴/۱۷	۶۴/۱۷	۶۴/۱۷	۶۴/۱۷	۶۴/۱۷	۶۴/۱۷	۶۴/۱۷	۶۴/۱۷	از نرم افزار SPSS b
-۶/۲۲	-۶/۲۲	-۶/۲۲	-۶/۲۲	-۶/۲۲	-۶/۲۲	-۶/۲۲	-۶/۲۲	-۶/۲۲	-۶/۲۲	-۶/۲۲	-۶/۲۲	-۶/۲۲	-۶/۲۲	-۶/۲۲	از نرم افزار SPSS c
E-۰۴	E-۰۴	E-۰۴	E-۰۴	E-۰۴	E-۰۴	E-۰۴	E-۰۴	E-۰۴	E-۰۴	E-۰۴	E-۰۴	E-۰۴	E-۰۴	E-۰۴	(محاسباتی) i
۰/۲۶۹	۰/۱۹۶	۰/۱۶۲	۰/۱۴۱	۰/۱۲۶	۰/۱۱۵	۰/۱۰۷	۰/۱۰۰	۰/۰۹۴	۰/۰۸۹	۰/۰۸۴	۰/۰۸۱	۰/۰۸۱	۰/۰۸۱	۰/۰۸۱	(محاسباتی) i

تغییرات تراز دریچه به سمت پایین پس از گذشت t (برابر ۵ دقیقه)															
۰/۰۲۵۶	۰/۰۲۱۳	۰/۰۱۸۸	۰/۰۱۷۲	۰/۰۱۶۰	۰/۰۱۵۰	۰/۰۱۴۲	۰/۰۱۳۵	۰/۰۱۲۹	۰/۰۱۲۴	۰/۰۱۲۰	۰/۰۱۱۶	۰/۰۱۱۴	۰/۰۱۱۴	۰/۰۱۱۴	(مت بر ثانیه) i
۰/۲۵۳	۰/۱۹۳	۰/۱۵۰	۰/۱۳۰	۰/۱۳۰	۰/۱۱۰	۰/۰۹۸	۰/۰۹۷	۰/۰۹۵	۰/۰۹۰	۰/۰۹۰	۰/۰۷۳	۰/۰۷۳	۰/۰۷۳	۰/۰۷۳	(مشاهداتی) i
۰/۰۴۶	۰/۰۳۸	۰/۰۳۳	۰/۰۳۱	۰/۰۲۸	۰/۰۲۷	۰/۰۲۵	۰/۰۲۴	۰/۰۲۳	۰/۰۲۲	۰/۰۲۱	۰/۰۲۱	۰/۰۲۱	۰/۰۲۱	۰/۰۲۱	۰/۰۲۱
۰/۲۴۹	۰/۱۸۷	۰/۱۵۶	۰/۱۳۷	۰/۱۲۳	۰/۱۱۲	۰/۱۰۳	۰/۰۹۷	۰/۰۹۱	۰/۰۸۶	۰/۰۸۱	۰/۰۷۸	۰/۰۷۸	۰/۰۷۸	۰/۰۷۸	(محاسباتی) i

تغییرات تراز دریچه به سمت پایین پس از گذشت t (برابر ۱۰ دقیقه)															
۰/۰۲۳۸	۰/۰۲۰۵	۰/۰۱۸۳	۰/۰۱۶۹	۰/۰۱۵۸	۰/۰۱۴۹	۰/۰۱۴۱	۰/۰۱۳۵	۰/۰۱۲۹	۰/۰۱۲۴	۰/۰۱۱۹	۰/۰۱۱۶	۰/۰۱۱۴	۰/۰۱۱۴	۰/۰۱۱۴	(مت بر ثانیه) i
۰/۲۱۰	۰/۱۷۸	۰/۱۴۳	۰/۱۲۳	۰/۱۱۸	۰/۱۰۰	۰/۱۰۰	۰/۱۰۰	۰/۰۹۳	۰/۰۹۰	۰/۰۸۲	۰/۰۷۳	۰/۰۷۳	۰/۰۷۳	۰/۰۷۳	(مشاهداتی) i
۰/۰۴۲	۰/۰۳۶	۰/۰۳۳	۰/۰۳۰	۰/۰۲۸	۰/۰۲۶	۰/۰۲۵	۰/۰۲۴	۰/۰۲۳	۰/۰۲۲	۰/۰۲۱	۰/۰۲۱	۰/۰۲۱	۰/۰۲۱	۰/۰۲۱	۰/۰۲۱
۰/۲۲۰	۰/۱۷۴	۰/۱۴۷	۰/۱۳۰	۰/۱۱۷	۰/۱۰۸	۰/۱۰۰	۰/۰۹۳	۰/۰۸۷	۰/۰۸۲	۰/۰۷۸	۰/۰۷۴	۰/۰۷۴	۰/۰۷۴	۰/۰۷۴	(محاسباتی) i

تغییرات تراز دریچه به سمت پایین پس از گذشت t (برابر ۱۵ دقیقه)															
۰/۰۲۲۳	۰/۰۱۹۶	۰/۰۱۷۸	۰/۰۱۶۶	۰/۰۱۵۶	۰/۰۱۴۷	۰/۰۱۴۰	۰/۰۱۳۴	۰/۰۱۲۸	۰/۰۱۲۴	۰/۰۱۱۹	۰/۰۱۱۶	۰/۰۱۱۴	۰/۰۱۱۴	۰/۰۱۱۴	(مت بر ثانیه) i
۰/۱۹۳	۰/۱۵۸	۰/۱۲۸	۰/۱۱۵	۰/۱۱۵	۰/۰۹۸	۰/۰۹۷	۰/۰۹۵	۰/۰۸۵	۰/۰۸۲	۰/۰۸۲	۰/۰۷۳	۰/۰۷۳	۰/۰۷۳	۰/۰۷۳	(مشاهداتی) i
۰/۰۴۰	۰/۰۳۵	۰/۰۳۲	۰/۰۳۰	۰/۰۲۸	۰/۰۲۶	۰/۰۲۵	۰/۰۲۴	۰/۰۲۳	۰/۰۲۲	۰/۰۲۱	۰/۰۲۱	۰/۰۲۱	۰/۰۲۱	۰/۰۲۱	۰/۰۲۱
۰/۱۹۶	۰/۱۶۰	۰/۱۳۸	۰/۱۲۳	۰/۱۱۲	۰/۱۰۳	۰/۰۹۵	۰/۰۸۹	۰/۰۸۳	۰/۰۷۹	۰/۰۷۵	۰/۰۷۱	۰/۰۷۱	۰/۰۷۱	۰/۰۷۱	(محاسباتی) i

جدول ۵- تراز سطح آب پیزومترها، سراب و پایاب در فواصل زمانی ۵ دقیقه در لحظات پایین آمدن دریچه (بر حسب سانتی متر)

لحظه شروع		در دقیقه ۵	در دقیقه ۱۰	در دقیقه ۱۵	
۵۰/۲۵	۵۰/۲۵	۵۰/۲۵	۵۰/۲۵	۵۰/۲۵	تراز سراب
۵۰/۲۵	۵۰/۲۵	۵۰/۲۵	۵۰/۲۵	۵۰/۲۵	پیزومتر شماره ۱
۴۸/۷۰	۴۸/۷۰	۴۸/۷۰	۴۸/۷۰	۴۸/۷۰	پیزومتر شماره ۲
۴۷/۱۰	۴۷/۱۰	۴۷/۱۰	۴۷/۱۰	۴۷/۱۰	پیزومتر شماره ۳
۴۵/۲۰	۴۵/۲۰	۴۵/۲۰	۴۵/۲۰	۴۵/۲۰	پیزومتر شماره ۴
۴۳/۳۰	۴۳/۴۵	۴۳/۷۰	۴۳/۷۰	۴۳/۹۰	پیزومتر شماره ۵
۴۱/۴۰	۴۱/۶۰	۴۱/۹۰	۴۱/۹۰	۴۲/۱۰	پیزومتر شماره ۶
۳۹/۲۵	۳۹/۷۰	۴۰/۱۰	۴۰/۲۵	۴۰/۲۵	پیزومتر شماره ۷
۳۷/۱۰	۳۷/۵۰	۳۸/۰۰	۳۸/۲۵	۳۸/۲۵	پیزومتر شماره ۸
۳۴/۵۰	۳۵/۰۰	۳۵/۷۰	۳۶/۰۵	۳۶/۰۵	پیزومتر شماره ۹
۳۱/۸۰	۳۲/۳۵	۳۳/۱۵	۳۳/۸۰	۳۳/۸۰	پیزومتر شماره ۱۰
۲۸/۵۰	۲۹/۳۰	۳۰/۳۰	۳۱/۱۵	۳۱/۱۵	پیزومتر شماره ۱۱
۲۴/۸۵	۲۵/۸۰	۲۷/۰۵	۲۸/۱۰	۲۸/۱۰	پیزومتر شماره ۱۲
۱۹/۲۰	۲۱/۰۰	۲۲/۹۵	۲۴/۳۰	۲۴/۳۰	پیزومتر شماره ۱۳
۱۹/۲۰	۲۱/۰۰	۲۲/۹۵	۲۴/۳۰	۲۴/۳۰	تراز پایاب
۱۲/۴۷	۱۵/۱۳	۱۷/۶۰	۲۰/۰۰	۲۰/۰۰	تراز سطح دریچه (سانتی متر)
۹/۳۹	۹/۳۹	۹/۳۹	۹/۳۹	۹/۳۹	ارتفاع H (سانتی متر)

جدول ۶- تغییرات گرادیان هیدرولیکی (m/m) و تعیین ضرایب در شرایط غیرماندگار در گامهای زمانی ۵ دقیقه‌ای (دریچه روبه پایین)

تغییرات تراز دریچه به سمت پایین (لحظه شروع)															$\bar{V}$ (متر بر ثانیه)
----	۰/۰۲۲	۰/۰۱۹	۰/۰۱۸	۰/۰۱۶	۰/۰۱۵	۰/۰۱۵	۰/۰۱۴	۰/۰۱۳	۰/۰۱۲	۰/۰۱۲	۰/۰۱۲	۰/۰۱۲	۰/۰۱۱		
۰...۰	۰/۱۹۰	۰/۱۵۳	۰/۱۳۳	۰/۱۱۳	۰/۱۱۰	۰/۱۰۰	۰/۰۹۳	۰/۰۹۰	۰/۰۸۰	۰/۰۸۰	۰/۰۸۰	۰/۰۷۷	۰/۰۰۰	i (مشاهداتی)	i
	۰/۰۳۹	۰/۰۳۴	۰/۰۳۱	۰/۰۲۹	۰/۰۲۷	۰/۰۲۶	۰/۰۲۵	۰/۰۲۴	۰/۰۲۳	۰/۰۲۲	۰/۰۲۱	۰/۰۲۱	۰/۰۲۰		$\bar{V}$ (a)
	۱/۸۸۷	۱/۸۸۷	۱/۸۸۷	۱/۸۸۷	۱/۸۸۷	۱/۸۸۷	۱/۸۸۷	۱/۸۸۷	۱/۸۸۷	۱/۸۸۷	۱/۸۸۷	۱/۸۸۷	۱/۸۸۷	a از نرم افزار SPSS	a
	۷۵/۷۳۴	۷۵/۷۳۴	۷۵/۷۳۴	۷۵/۷۳۴	۷۵/۷۳۴	۷۵/۷۳۴	۷۵/۷۳۴	۷۵/۷۳۴	۷۵/۷۳۴	۷۵/۷۳۴	۷۵/۷۳۴	۷۵/۷۳۴	۷۵/۷۳۴	b از نرم افزار SPSS	b
E-۰۴	۶/۵۵	۶/۵۵	۶/۵۵	۶/۵۵	۶/۵۵	۶/۵۵	۶/۵۵	۶/۵۵	۶/۵۵	۶/۵۵	۶/۵۵	۶/۵۵	۶/۵۵	c از نرم افزار SPSS	c
	۰/۱۹۰	۰/۱۵۵	۰/۱۳۴	۰/۱۲۰	۰/۱۰۹	۰/۱۰۰	۰/۰۹۳	۰/۰۸۷	۰/۰۸۲	۰/۰۷۸	۰/۰۷۴	۰/۰۷۱		i (محاسباتی)	i
تغییرات تراز دریچه به سمت پایین پس از گذشت (t برابر ۵ دقیقه)															$\bar{V}$ (متر بر ثانیه)
---	۰/۰۲۳۱	۰/۰۲۰۰	۰/۰۱۸۱	۰/۰۱۶۷	۰/۰۱۵۶	۰/۰۱۴۷	۰/۰۱۴۰	۰/۰۱۳۴	۰/۰۱۲۸	۰/۰۱۲۴	۰/۰۱۲۰	۰/۰۱۱۶	۰/۰۱۱۴		
۰...۰	۰/۲۰۰	۰/۱۶۲۵	۰/۱۴۲۵	۰/۱۲۷۵	۰/۱۱۵۰	۰/۱۰۵۰	۰/۰۹۰۰	۰/۰۹۰۰	۰/۰۹۰۰	۰/۰۸۰۰	۰/۰۸۰۰	۰/۰۷۷۵	۰/۰۰۰	i (مشاهداتی)	i
	۰/۰۴۱	۰/۰۳۶	۰/۰۳۲	۰/۰۳۰	۰/۰۲۸	۰/۰۲۶	۰/۰۲۵	۰/۰۲۴	۰/۰۲۳	۰/۰۲۲	۰/۰۲۱	۰/۰۲۱		$\bar{V}$ (a)	
	۰/۲۰۸	۰/۱۶۷	۰/۱۴۲	۰/۱۲۶	۰/۱۱۴	۰/۱۰۴	۰/۰۹۷	۰/۰۹۱	۰/۰۸۶	۰/۰۸۲	۰/۰۷۸	۰/۰۷۴		i (محاسباتی)	i
تغییرات تراز دریچه به سمت پایین پس از گذشت (t برابر ۱۰ دقیقه)															$\bar{V}$ (متر بر ثانیه)
---	۰/۰۲۴۷	۰/۰۲۰۹	۰/۰۱۸۶	۰/۰۱۷۰	۰/۰۱۵۸	۰/۰۱۴۸	۰/۰۱۴۱	۰/۰۱۳۵	۰/۰۱۲۹	۰/۰۱۲۴	۰/۰۱۲۰	۰/۰۱۱۶	۰/۰۱۱۴		
۰...۰	۰/۲۴۰۰	۰/۱۷۵۰	۰/۱۵۲۵	۰/۱۳۲۵	۰/۱۲۵۰	۰/۱۱۰۰	۰/۰۹۵۰	۰/۰۹۲۵	۰/۰۹۲۵	۰/۰۹۰۰	۰/۰۸۰۰	۰/۰۷۷۵	۰/۰۰۰	i (مشاهداتی)	i
	۰/۰۴۴	۰/۰۳۷	۰/۰۳۳	۰/۰۳۰	۰/۰۲۸	۰/۰۲۶	۰/۰۲۵	۰/۰۲۴	۰/۰۲۳	۰/۰۲۲	۰/۰۲۱	۰/۰۲۱		$\bar{V}$ (a)	
	۰/۲۳۶	۰/۱۸۱	۰/۱۵۲	۰/۱۳۳	۰/۱۲۰	۰/۱۰۹	۰/۱۰۲	۰/۰۹۵	۰/۰۹۰	۰/۰۸۵	۰/۰۸۱	۰/۰۷۸		i (محاسباتی)	i
تغییرات تراز دریچه به سمت پایین پس از گذشت (t برابر ۱۵ دقیقه)															$\bar{V}$ (متر بر ثانیه)
---	۰/۰۲۶۵	۰/۰۲۱۷	۰/۰۱۹۰	۰/۰۱۷۳	۰/۰۱۶۰	۰/۰۱۵۰	۰/۰۱۴۲	۰/۰۱۳۵	۰/۰۱۲۹	۰/۰۱۲۴	۰/۰۱۲۰	۰/۰۱۱۶	۰/۰۱۱۴		
۰...۰	۰/۲۷۲۵	۰/۱۹۲۵	۰/۱۶۵۰	۰/۱۳۵۰	۰/۱۳۰۰	۰/۱۱۰۰	۰/۱۰۷۵	۰/۰۹۵۰	۰/۰۹۵۰	۰/۰۹۵۰	۰/۰۸۰۰	۰/۰۷۷۵	۰/۰۰۰	i (مشاهداتی)	i
	۰/۰۴۷	۰/۰۳۹	۰/۰۳۴	۰/۰۳۱	۰/۰۲۹	۰/۰۲۷	۰/۰۲۵	۰/۰۲۴	۰/۰۲۳	۰/۰۲۲	۰/۰۲۱	۰/۰۲۱		$\bar{V}$ (a)	
	۰/۲۶۸	۰/۱۹۵	۰/۱۶۱	۰/۱۴۰	۰/۱۲۵	۰/۱۱۴	۰/۱۰۶	۰/۰۹۹	۰/۰۹۴	۰/۰۸۸	۰/۰۸۴	۰/۰۸۱		i (محاسباتی)	i

و از آنجا

$$(8) \quad i = 1/887 + 75/73 V^2 + 6/55 e^{-4t}$$

از طرفی چون مشاهدات به تفکیک تغییرات گرادیان هیدرولیکی در دو حالت نیم سینوسی متناظر با بالا بردن و یا پایین بردن دریچه صورت گرفت، لذا لازم بود که در یک چرخه کامل تمام سینوسی نیز تحلیل رگرسیونی داده‌ها انجام شود.

مقادیر a, b و c حاصل از نرم افزار SPSS به ترتیب برآوردند با

$$a = 2/19 (\text{Sec}/\text{m})$$

$$b = 71/457 (\text{Sec}/\text{m})^2$$

$$c = 3/12e - 5 (\text{1/Sec})$$

مشاهده می‌شود که ضریب ترم سوم مربوط به زمان t (مقدار ضریب) در حالت سینوسی نیز عدد بسیار کوچکی به دست آمده است. به هر حال مجدداً می‌توان معادله فورشایر میر را به صورت زیر بازنویسی کرد

با استفاده از مشاهدات شرایط غیرماندگار به کمک نرم افزار، با برقراری روابط بین گرادیان‌ها و سرعت‌ها و زمان‌ها، مقادیر a, b و c محاسبه شدند. در حالت بالارفتن دریچه، این ضرایب به صورت زیر به دست آمد

$$a = 2/6 (\text{Sec}/\text{m})$$

$$b = 64/17 (\text{Sec}/\text{m})^2$$

$$c = -6/22e - 4 (\text{1/Sec})$$

در نتیجه

$$(7) \quad i = 2/6V + 64/17 V^2 - 6/22 e^{-4t}$$

و برای برگشت (پایین آمدن) دریچه، ضرایب بالا عبارت‌اند از

$$a = 1/887 (\text{Sec}/\text{m})$$

$$b = 75/734 (\text{Sec}/\text{m})^2$$

$$c = 6/55e - 4 (\text{1/Sec})$$

**جدول ۷- تراز سطح آب پیزومترها، سراب و پایاب در فواصل زمانی ۲ دقیقه در لحظات پایین آمدن دریچه (بر حسب سانتی متر)**

در جداول بالا:  $V$  سرعت متوسط بین دو پیزومتر متواالی (متر بر ثانیه) و (a) سرعت واقعی در محیط متخلخل (متر بر ثانیه)

تیحه گیری

همان گونه که در ابتدای بیان شد و داده های آزمایشگاهی و نمودارهای مربوطه نیز گواه بر آن است، جریان درون محیط متخلخل درشت دانه مورد آزمایش، جریانی غیر خطی- سهمی شکل بود که رابطه ارائه شده، با پرازش داده های آزمایشگاهی و با ضریب رگرسیون بسیار بالا یی به دست آمد. یافته های پژوهش حاضر حاکی از آن است که: (الف) برای جریان های سطح آزاد آشفته و غیرماندگار در محیط های متخلخل درشت دانه مشابه، اضافه کردن ترم سوم به معادله فورشها یم دقت محاسبات را به طور محسوسی افزایش نخواهد داد. یافته های مشاهداتی نیز نشان می دهند که در حد دقت های قابل دستیابی در این آزمایش ها ضریب جمله سوم در معادله فورشها یم، بسیار کوچک و قابل صرف نظر کردن است. در آزمایش مدل های بزرگ مقیاس و تحت فشار، این ضریب قابل توجه بوده و برای پرازش منحنی های پوش، ترم سوم ناگزیر باید دخالت داده شود. (ب) در صورت اندازه گیری همزمان سرعت جریان در بالا دست و پایین دست محیط متخلخل در شرایط ذکر شده، دستیابی به پروفیل های دقیق تری از گردایان های هیدرولیکی غیرماندگار، امکان پذیر خواهد بود. (ج) ویژگی های فیزیکی محیط متخلخل تأثیر قابل اندازه گیری بر ضریب ترم سوم معادله

$$i = 2/19V + 71/45V V^r + 3/12 \times 10^{-5} t \quad (9)$$

در صورتی که همین آزمایش‌ها برای حالت ۲ دقیقه‌ای انجام گردد، مشاهده می‌شود که مقادیر a و b و c حاصل از نرم‌افزار SPSS به ترتیب پر ابراند با (جدول ۷)

$$a = \gamma / 64 \text{ (Sec/m)}$$

$$b = 65 / 12 \text{ (Sec/m)}^2$$

$$c = -5 / 77e - 4 \text{ (1/Sec)}$$

و از آنجا معادله فورشهایمر تعمیم یافته به صورت ذیل ارائه می‌گردد

$$i = \frac{2/62V + 65/12V^2 - 5/77}{10^{-4}t} \quad (10)$$

همان طور که در بالا ذکر شد روابط بالا به منظور خم دانه‌بندی مورد آزمایش، بدست آمد.

از آنجا که شرایط هیدرولیکی جریان، جزر و مدی (غیر ماندگار) بوده و محیط متخلخل در برابر عبور جریان از درون آن از خود مقاومت نشان می‌دهد (مفهوم گرادیان فشار)، لذا سرعت جریان، تابعی از زمان است. زیرا تراز سطح آب در دو سوی محیط متخلخل (بالا دست و پایین دست) ثابت نبوده و با تغییر زمان، تغییر می‌نماید. به این ترتیب رابطه‌های ارائه شده برای گرادیان هیدرولیکی، نیز وابسته به زمان هستند.

عمران و آقای مهندس طهماسبی مدیر وقت دفتر فنی دانشگاه و مهندس افکار نیز به خاطر مساعدت بی دریغ ایشان در ساخت دستگاه و پیشنهاداتی در جهت پیشرفت پروژه تشکر و قدردانی می نمایند.

فورشها یم ندارند. اما این نکته حداقل برای شرایط جریان غیرماندگار تحت فشار صادق نیست.

## ۵- قدردانی

نویسندها این تحقیق از آقایان دکتر ملکی رئیس وقت دانشکده

## ۶- مراجع

- 1- Burcharth, H.F., and Andersen, O.H. (1995). "On the one-dimensional steady and unsteady porous media flow equation." *J. of Coastal Engineering*, 24, 233-257.
- 2- Sheidegger, A.E. (1974). *Physics of flow through porous media*, University of Toronto Press, Toronto.
- 3- Venkataraman, P., and Rao, P.R.M. (1998). "Darcian, transitional and turbulent flow through porous media." *J. of Hydra. Eng.*, 124(8), 840-846.
- 4- Ahmed, N., and Sunada, D.K. (1969). "Nonlinear flow in porous media." *J. of Hydra. Divi.*, 95(6), 1847-1857.
- 5- Ahmed, N., and Sunada, D.K. (1971). "Closure on nonlinear flow in porous media." *J. of Hydra. Divi.*, 8, 1233-1234.
- 6- Curtic, R.P., and Lawson, J.D. (1967). "Flow over and through rockfill banks." *J. of Hydra. Divi.*, 5, 1-21.
- 7- George, G.H., and Hansen, D. (1992). "Conversion between quadratic and power law for non-Darcy flow." *J. of Hydra. Engineering*, 118(5), 792-797.
- 8- Bazargan, J. (2002), "Design and analysis of rockfill intakes." Ph.D. Thesis, Dept. of Civil and Environmental Engineering, Amir kabir University, Tehran, Iran. (In Persian)
- 9- Straughan, B. (2010), "Structure of the dependence of Darcy and Forchheimer coefficients on porosity." *International J. of Engineering Science*, 48(11), 1610-1621.
- 10- Li, B., Garga, V., and Davies, M. (1998), "Relationships for Non-Darcy flow in rockfill." *J. of Hydraulic Engineering*, 124(2), 206-212.
- 11- Afzali, S.H., Abedini, J.M., and Monajemi, P. (2009). "Identification of network physical properties in simulation of flow through porous media using network model." *J. of Water and Wastewater*, 68, 48-56. (In Persian)
- 12- Moutsopoulos, K.N., and Tsihrintzis, V.A. (2005). "Approximate analytical solutions of the Forchheimer equation." *J. of Hydrology*, 309, 93-103.
- 13- Moutsopoulos, K.N., Papaspyros, I.N.E., and Tsihrintzis, V.A. (2009). "Experimental investigation of inertial flow processes in porous media." *J. of Hydrology*, 374, 242-254.
- 14- Fourar, M., Radilla, G., Lenormand, R., and Moyne, Ch. (2004). "On the non-linear behavior of a laminar single-phase flow through two and three-dimensional porous media." *J. of Advances in Water Resources*, 27, 669-677.
- 15- Cheng, N.Sh., Hao, Zh., and Tan, S.K. (2008). "Comparison of quadratic and power law for nonlinear flow through porous media." *J. of Experimental Thermal and Fluid Science*, 32, 1538-1547.
- 16- Poluobarinova-Kochina, Y.P. (1952). *Theory of groundwater movement*, English Tranlation by DeWiest, R.M.J. Princeton University Press, Princeton, New Jersey.
- 17- Hall, K.R., Smith, G.M., and Turcket, D.J. (1994). "Development of a non-linear porous media flow relationship for oscillatory unsteady flow." *J. of Coastal Research*, 10(1), 158-169.
- 18- Majid Hassanizadeh, S. (1978). "High velocity flow in porous media." *J. of Transport in Porous Media*, 2, 521-537.
- 19- Hall, k., Smith, G.M., and Turcke, D.J. (1994). "Development of a non-linear porous media flow relationship for oscillatory unsteady flow." *J. of Coastal Research*, 10(1) 158-169.
- 20- Wang, X.A., and Liu, Zh.F. (2004). "The Forchheimer equation in two-dimensional percolation porous media." *J. of Physica*, 337, 384-388.
- 21- Shokri, M. (2004), "Investigating parameters affecting nonlinear unsteady flow in porous media." M.Sc. Thesis, Dept. of Civil and Environmental Engineering, Amirkabir University of Technology, Tehran, Iran. (In Persian)